

# Анализ помех отражения в неоднородных многопроводных линиях передачи сигналов

К. Е. АФАНАСЬЕВ, С. Н. ТРОФИМОВ

*Кемеровский государственный университет, Россия*

e-mail: [keafa@kemsu.ru](mailto:keafa@kemsu.ru), [sergei@kemsu.ru](mailto:sergei@kemsu.ru)

Рассматривается анализ помех отражения в неоднородных многопроводных линиях передачи во временной области с помощью TVD-схемы метода Годунова. Проведено сравнение результатов численного моделирования с экспериментальными данными и расчетами других авторов. Результаты численного моделирования представлены в виде графиков для напряжений в сигнальной и пассивной линиях.

*Ключевые слова:* многопроводные линии передачи, многосекционные линии передачи, метод Годунова, TVD-схемы.

## Введение

С появлением цифровых технологий возрос интерес к анализу линий передачи для проектирования современных электронных устройств. В последние годы был проведен ряд исследований по разработке методов анализа отклика и вычисления параметров линий передач самой различной сложности [1, 2]. В монографии [3] подробно представлен обзор работ по анализу распространения сигнала в линиях передачи и расчету временного отклика.

Основной тенденцией развития высокоскоростной радиоэлектронной аппаратуры (РЭА) является повышение скорости обработки информации, что, однако, сопровождается появлением новых проблем, связанных с переходом в наносекундный диапазон работы устройств и обусловленных искажением сигналов в линиях передачи. Распространение сигнала вдоль многопроводных линий передач, когда полное сопротивление нагрузки не равно волновому сопротивлению линии передачи (несогласованные линии), играет значительную роль в современных технологиях обработки и передачи сигналов. Скоростные аналоговые и цифровые цепи любого уровня интеграции предлагают широкий выбор примеров простых и многопроводных, однородных и неоднородных линий передачи, присоединенных к устройствам с различными входными характеристиками. Уменьшение времени установления уровня амплитуды сигнала подчеркивает важность эффектов распространения и искажения сигналов вследствие воздействия таких наиболее значимых в большинстве приложений паразитных эффектов, как отражение от несогласованных нагрузок, перекрестные наводки и скрин-эффект. Поэтому в данном случае важной задачей исследований является анализ временного отклика в несогласованных линиях передачи, искажение сигнала в которых может привести к некорректному поведению радиоэлектронного оборудования.

Для анализа распространения сигнала в линиях передачи разработаны различные численные и аналитические методы [1, 4]. Широкое распространение получили также средства визуального электродинамического и квазистатического моделирования [5]. При этом для всех вариантов анализа исходным этапом являются формулировка системы телеграфных уравнений, задание начальных и граничных условий, а также описание матриц параметров линий передачи.

В настоящее время наиболее полно разработаны программы моделирования линейных радиотехнических устройств с сосредоточенными параметрами в частотной области. Существует ряд подходов, основанных на смешанных методах, дающих приемлемые результаты моделирования линий с распределенными параметрами и потерями в нелинейных цепях. Однако, учитывая особенности существующих методов, в которых часть решения проводится аналитически, расчет многопроводных линий сопряжен с громоздкими выкладками, что затрудняет решение практических задач, особенно если поведение оконечных устройств, вольт-амперные характеристики (ВАХ) которых имеют довольно сложный вид, не может быть описано стандартными аналитическими функциями. Заметим, что для элементов с нелинейными ВАХ (нелинейный нагружающий элемент) графическая зависимость тока от напряжения обычно известна из справочных данных или эксперимента. Поэтому при расчете электрических цепей с заданными нелинейными характеристиками элементов возникает задача приближенного воспроизведения таких характеристик. Одним из способов аппроксимации ВАХ, заданных таблично, является использование сплайнов. В ряде случаев поведение интерполяционных сплайнов не согласуется с качественными характеристиками исходных данных (появляются нежелательные изгибы или всплески). Этот недостаток устраняется в обобщенных кубических сплайнах — сплайнах с натяжением и их модификациях (гиперболические, экспоненциальные, рациональные и др.) [6]. Для аппроксимации вольт-амперных характеристик нелинейных элементов в данной работе используются экспоненциальные сплайны, описанные в [7], поскольку они хорошо зарекомендовали себя при решении подобных задач [8].

В статье описывается алгоритм для численного моделирования многопроводных линий передачи с нелинейными нагрузками, в частности, для решения задачи расчета временного отклика в многопроводных линиях передачи. В предлагаемом алгоритме использован метод Годунова, широко применяемый для решения задач газовой динамики, теории мелкой воды, магнитной гидродинамики и механики твердого деформируемого тела. Поскольку этот метод основан на законах сохранения материи и энергии, то данный подход является наиболее приемлемым с физической точки зрения, однако примеры использования метода Годунова в задачах теории цепей с распределенными параметрами авторам статьи неизвестны. Численное моделирование проводится во временной области, что позволяет выполнять точный анализ временного отклика многопроводных структур с нелинейными нагружающими элементами.

В первом разделе статьи рассматриваются физическая и математическая постановка задачи, во втором приводятся описание разностной схемы и построение аппроксимации вольт-амперных характеристик нелинейных нагружающих цепей с помощью экспоненциального сплайна с натяжением, в третьем представлены результаты численного решения нескольких тестовых задач и их сравнение с экспериментальными и расчетными данными других авторов. Рассмотрены примеры моделирования с нелинейными нагрузками, показана предпочтительность аппроксимации сплайном с натяжением.

## 1. Постановка задачи

### 1.1. Физическая постановка задачи

Наиболее общий подход при расчете временных характеристик любой электромагнитной системы основан на решении уравнений Максвелла во временной области, при этом можно учесть все эффекты геометрии системы и электрические свойства. Однако такой подход довольно сложен уже для простейших структур и трудноосуществим даже на высокопроизводительных ЭВМ. Поэтому обычно используют определенные допущения. Пусть выполняются следующие условия:

- многопроводная линия считается однородной по длине, а на концах нагружена произвольными цепями; если вдоль линии имеются неоднородности, то ее можно разбить на ряд однородных участков; влияние неоднородностей учитывается через соответствующие эквивалентные цепи;
- геометрические размеры структуры в поперечном сечении малы по сравнению с длиной проходящей по ней волны сигнала;
- длина линии намного превышает расстояние между ее проводниками.

С учетом этих допущений многопроводную линию передач можно описать системой дифференциальных уравнений в частных производных (обобщенные телеграфные уравнения), которые могут быть получены следующими путями [9–13]:

- выводятся из уравнений Максвелла;
- записываются как следствие теоремы взаимности электротехнических цепей;
- выводятся из законов Кирхгофа предельным переходом от уравнений цепи с сосредоточенными параметрами к уравнениям структуры с распределенными параметрами.

Краткая историческая справка по данному вопросу приведена в работах [14, 15].

Отметим, что особой проблемой при анализе многопроводных линий передач является учет нагружающей цепи. Если линия передачи не имеет потерь и нагрузка линии представляет собой произвольную цепь, то решение может быть получено исключительно во временной области. С учетом этих допущений многопроводная линия передачи описывается системой дифференциальных уравнений в частных производных во временной области.

### 1.2. Математическая постановка задачи

Рассмотрим линию передачи, состоящую из  $N + 1$  проводников. Предположим, что  $N$  проводников являются сигнальными, а проводник  $N + 1$  представляет собой земляной (опорный) проводник. Также предположим, что земля имеет нулевой потенциал и линия по длине однородна. Обозначим через  $u_k(x, t)$  напряжение между  $k$ -м сигнальным проводником и землей на расстоянии  $x$  от генераторного конца в момент времени  $t$ , через  $i$  — ток, протекающий по  $k$ -му проводнику на расстоянии  $x$  от генераторного конца в момент времени  $t$ . Пусть ось  $x$  направлена вдоль линии, причем точка  $x = 0$  соответствует положению генератора, а  $x = l$  — положению нагрузки. Тогда, согласно теории цепей, напряжения и токи линии передачи при распространении ТЕМ-волн связаны телеграфными уравнениями [1, 9, 11, 12]:

$$\begin{aligned} -\frac{\partial \mathbf{u}(x, t)}{\partial x} &= \mathbf{R}\mathbf{i}(x, t) + \mathbf{L}\frac{\partial \mathbf{i}(x, t)}{\partial t}, \\ -\frac{\partial \mathbf{i}(x, t)}{\partial x} &= \mathbf{G}\mathbf{u}(x, t) + \mathbf{C}\frac{\partial \mathbf{u}(x, t)}{\partial t}, \end{aligned} \quad (1)$$

где матрицы  $N \times N$  погонных параметров:  $\mathbf{R}$  — сопротивлений,  $\mathbf{L}$  — индуктивностей,  $\mathbf{G}$  — проводимостей и  $\mathbf{C}$  — емкостей, имеют следующий вид [13]:

$$\mathbf{C} = \begin{bmatrix} C_{11} & -C_{12} & \dots & -C_{1N} \\ -C_{21} & C_{22} & \dots & -C_{2N} \\ \dots & \dots & \dots & \dots \\ -C_{N1} & -C_{N2} & \dots & C_{NN} \end{bmatrix}, \quad \mathbf{L} = \begin{bmatrix} L_{11} & L_{12} & \dots & L_{1N} \\ L_{21} & L_{22} & \dots & L_{2N} \\ \dots & \dots & \dots & \dots \\ L_{N1} & L_{N2} & \dots & L_{NN} \end{bmatrix},$$

$$\mathbf{G} = \begin{bmatrix} G_{11} & -G_{12} & \dots & -G_{1N} \\ -G_{21} & G_{22} & \dots & -G_{2N} \\ \dots & \dots & \dots & \dots \\ -G_{N1} & -G_{N2} & \dots & G_{NN} \end{bmatrix}, \quad \mathbf{R} = \begin{bmatrix} R_{11} & R_{12} & \dots & R_{1N} \\ R_{21} & R_{22} & \dots & R_{2N} \\ \dots & \dots & \dots & \dots \\ R_{N1} & R_{N2} & \dots & R_{NN} \end{bmatrix},$$

здесь  $R_{kk}, L_{kk}, G_{kk}, C_{kk}$  — собственные параметры  $k$ -го проводника,  $R_{ik}, L_{ik}, G_{ik}, C_{ik}$  — аналогичные взаимные параметры между  $i$ -м и  $k$ -м проводниками системы из  $N$  проводников. Отметим три важных свойства матриц  $\mathbf{R}, \mathbf{L}, \mathbf{G}, \mathbf{C}$  [16]: 1 — симметричность; 2 — положительная определенность; 3 — для многопроводных линий передачи без потерь, находящихся в однородной среде, матрицы параметров на единицу длины связаны соотношением

$$\mathbf{LC} = \mathbf{CL} = \frac{1}{c^2} \mathbf{I},$$

где  $\mathbf{I}$  — единичная матрица,  $c = \sqrt{1/\epsilon\mu}$  — скорость света в вакууме,  $\epsilon, \mu$  — диэлектрическая и магнитная проницаемость.

Решение телеграфных уравнений определяется как свойствами проводника, так и начальными и граничными условиями на его концах, которые для системы (1) имеют вид

$$\begin{aligned} \mathbf{u}(0, t) &= \mathbf{E}_0(t) - \mathbf{R}_g \cdot \mathbf{i}(0, t), \\ \mathbf{u}(l, t) &= \mathbf{E}_l(t) + \mathbf{R}_n \cdot \mathbf{i}(l, t), \end{aligned} \tag{2}$$

здесь  $\mathbf{E}_0(t), \mathbf{E}_l(t)$  — векторы напряжений холостого хода генераторной и нагружающей цепи,  $\mathbf{R}_g, \mathbf{R}_n$  — матрицы сопротивлений генераторной и нагружающей цепи.

Полагаем, что в начальный момент ( $t = 0$ ) в линии напряжение и ток отсутствуют. Начальные условия в этом случае записываются как

$$\begin{aligned} \mathbf{u}(x, 0) &= 0, \quad x \in (0, l), \\ \mathbf{i}(x, 0) &= 0, \quad x \in (0, l). \end{aligned} \tag{3}$$

В любой момент времени напряжение и ток в линии можно рассматривать как сумму напряжений и токов двух волн — падающей ( $u^+, i^+$ ), перемещающейся от источника энергии к приемнику, и отраженной ( $u^-, i^-$ ), перемещающейся от приемника к источнику. Общее напряжение (ток) в линии представляет собой сумму всех падающих и отраженных волн. Волна, дошедшая до конца линии, отражается с определенным коэффициентом отражения, зависящим от волнового сопротивления линии и оконечной нагрузки [12]. Таким образом, в начале линии величины напряжения и силы тока определяются падающей волной, движущейся от генератора, и обратной волной, отраженной от начала линии. В конце линии, при отсутствии генератора, величины напряжения

и силы тока определяются падающей волной и коэффициентом отражения от окончной нагрузки. В соответствии с этим граничные условия (2) могут быть переписаны в следующем виде [17]:

$$\begin{aligned} u_i(0, t) &= E_i \cdot \frac{Z_i}{R_{g_i} + Z_i} + K_i \cdot u_i^-, \quad K_i = \frac{R_{g_i} - Z_i}{R_{g_i} + Z_i}, \\ i_i(0, t) &= \frac{E_i}{R_{g_i} + Z_i} - K_i \cdot u_i^-, \quad K_i = \frac{R_{g_i} - Z_i}{R_{g_i} + Z_i}, \\ u_i(l, t) &= Q_i \cdot u_i^+, \quad Q_i = \frac{R_{n_i} - Z_i}{R_{n_i} + Z_i}, \\ i_i(l, t) &= Q_i \cdot i_i^+, \quad Q_i = \frac{R_{n_i} - Z_i}{R_{n_i} + Z_i}, \end{aligned} \quad (4)$$

где  $u_i$ ,  $i_i$  — напряжение и сила тока в  $i$ -м проводнике;  $K_i$  — коэффициент отражения обратной волны от источника энергии в  $i$ -м проводнике;  $E_i$  — напряжение на источнике энергии;  $R_{g_i}$  — сопротивление источника энергии;  $Q_i$  — коэффициент отражения прямой волны от окончной нагрузки в  $i$ -м проводнике;  $R_{n_i}$  — сопротивление окончной нагрузки;  $Z_i$  — волновое сопротивление  $i$ -го проводника;  $i = \overline{1, N}$ .

Неоднородная линия передачи, у которой вдоль некоторой выбранной пространственной координаты  $x$  изменяются характерные размеры области поперечного (по отношению к оси  $Ox$ ) сечения или (и) диэлектрическая и магнитная проницаемость среды, заполняющей линию, представляется каскадным соединением однородных линий передачи с различными, но постоянными в пределах каждого сегмента волновыми сопротивлениями. В результате получается многосегментная линия передачи с собственными характеристиками каждого однородного сегмента. При анализе многосегментной линии разделение волн на прямые и обратные оказывается недостаточным. Волна, падающая на узел соединения двух линий, имеющих разные параметры, разделяется на две, одна из которых переходит из первой линии во вторую, а другая отражается от места соединения двух линий. Граничные условия и коэффициенты отражения и преломления определяются для каждого сегмента исходя из характеристик элементов в узлах и значений амплитуд волн, приходящих из соседних сегментов:

$$\begin{aligned} u_i(0, t) &= K_i^{\text{пр}} \cdot u_{i-1}^+ + K_i^{\text{отр}} \cdot u_i^-, \\ i_i(0, t) &= K_i^{\text{пр}} \cdot u_{i-1}^+ - K_i^{\text{отр}} \cdot u_i^-, \\ u_i(l, t) &= K_i^{\text{отр}} \cdot u_i^+ + K_i^{\text{пр}} \cdot u_{i+1}^-, \\ i_i(l, t) &= K_i^{\text{отр}} \cdot u_i^+ - K_i^{\text{пр}} \cdot u_{i+1}^-, \end{aligned} \quad (5)$$

где  $u_i$ ,  $i_i$  — напряжение и сила тока в  $i$ -м сегменте;  $u_i^+$ ,  $i_i^+$  — падающая волна в  $i$ -м сегменте;  $u_i^-$ ,  $i_i^-$  — отраженная волна в  $i$ -м сегменте;  $K_i^{\text{пр}}$  — коэффициент преломления для приходящей из  $(i-1)$ -го сегмента волны;  $K_i^{\text{отр}}$  — коэффициент отражения падающей волны от конца  $i$ -го сегмента;  $K_i^{\text{отр}}$  — коэффициент отражения отраженной волны от начала  $i$ -го сегмента;  $K_i^{\text{пр}}$  — коэффициент преломления приходящей из  $(i+1)$ -го сегмента волны.

Ниже описываются построение разностной схемы, которая используется для решения задачи анализа временного отклика в многопроводных линиях передачи, и аппроксимация вольт-амперных характеристик нелинейных нагрузжающих цепей с помощью экспоненциального сплайна с натяжением.

## 2. Численные методы

### 2.1. TVD-схема метода Годунова

Поскольку переходные процессы в проводных структурах описываются системой гиперболических уравнений, то для анализа временного отклика в несогласованной линии может быть использован метод Годунова. В основе метода лежит идея использования точных решений уравнений с кусочно-постоянными начальными данными для построения разностной схемы [18]. Для многопроводной линии без потерь ( $\mathbf{R} = 0$ ,  $\mathbf{G} = 0$ ) систему (1) можно записать в виде

$$\mathbf{A} \frac{\partial}{\partial t} \mathbf{U} + \mathbf{B} \frac{\partial}{\partial x} \mathbf{U} = 0, \quad (6)$$

где  $\mathbf{A}$ ,  $\mathbf{B}$  — матрицы соответствующих коэффициентов при напряжениях и токах,  $\mathbf{U}$  — вектор-столбец напряжений и токов. Например, для двухпроводной линии без потерь матрицы  $\mathbf{A}$  и  $\mathbf{B}$  будут иметь следующий вид:

$$\mathbf{A} = \begin{pmatrix} C_{11} - C_{21} & 0 & C_{21} & 0 \\ 0 & L_{11} & 0 & L_{21} \\ C_{12} & 0 & C_{22} & 0 \\ 0 & L_{12} & 0 & L_{22} \end{pmatrix}, \quad \mathbf{B} = \begin{pmatrix} 0 & 1 & 0 & 0 \\ 1 & 0 & 0 & 0 \\ 0 & 0 & 0 & 1 \\ 0 & 0 & 1 & 0 \end{pmatrix}.$$

Система (6) при этом может быть переписана как

$$\Lambda^T \mathbf{A} \Lambda \frac{\partial}{\partial t} \mathbf{U} + \Lambda^T \mathbf{B} \Lambda \frac{\partial}{\partial x} \mathbf{U} = 0,$$

где  $\Lambda^T$  — транспонированная матрица  $\Lambda$ . Поскольку  $\mathbf{A}$ ,  $\mathbf{B}$  — симметрические матрицы, причем  $\mathbf{A}$  — положительно определенная, то систему (6) приведем к каноническому виду с диагональной матрицей  $\mathbf{M}$  [18]:

$$\frac{\partial}{\partial t} \mathbf{V} + \mathbf{M} \frac{\partial}{\partial x} \mathbf{V} = 0, \quad (7)$$

где вектор-функция  $\mathbf{V} = \Lambda^{-1} \mathbf{U}$ . Данная система распадается на  $m$  независимых уравнений для отдельных компонент  $v^{(m)}$ :

$$\frac{\partial v^{(m)}}{\partial t} + \mu_m \frac{\partial v^{(m)}}{\partial x} = 0.$$

Компоненты  $v^{(m)}$  носят название римановых инвариантов и сохраняют постоянные значения вдоль характеристик  $dx/dt = \mu_m$ .

Схема, предложенная в [18], имеет первый порядок точности по времени и по пространству. Для повышения качества получаемых численных решений необходимо построить схему более высокого порядка точности. В настоящей работе строится TVD (Total Variation Diminition)-схема метода Годунова [19].

Значения функции  $f(x)$  на гранях вычислительных ячеек определяются с помощью реконструкции по усредненным значениям в их центрах. Для этого задается процедура реконструкции:

$$f(x) = f_m + \alpha_m x, \quad x \in \left[ -\frac{1}{2} \Delta x, \frac{1}{2} \Delta x \right].$$

Задачей наклонов  $\alpha_m$  кусочно-линейного или кусочно-полиномиального распределения функции  $f(x)$  внутри дискретной ячейки является ограничение роста осцилляций там, где это снижает устойчивость схемы. TVD-схема вместо условия сохранения монотонности уменьшает или сохраняет полную вариацию функции. Такое условие невозрастания вариации численного решения, или TVD-принцип, является более слабым, чем требование монотонности схемы.

Полная вариация (TV, Total Variation) для дискретной функции  $f_m^k$  имеет вид

$$TV[f] = TV_0^k = \sum_{m=1}^M |f_{m+1}^k - f_m^k| = \sum_{m=1}^M |\Delta_m^k|, \quad \Delta_m^k = f_{m+1}^k - f_m^k.$$

Численная схема является TVD-схемой, если она удовлетворяет свойству

$$TV_0^{k+1} \leq TV_0^k,$$

которое означает, что сумма пространственных вариаций в среднем не должна увеличиваться, т. е. численные осцилляции не могут расти.

Построение схемы высокого порядка точности осуществляется путем сочетания кусочно-линейной аппроксимации величин внутри ячеек с различными алгоритмами пересчета по времени. Используется двухшаговый пересчет: предиктор-корректор [19].

Предиктор: первый шаг. Предполагается, что внутри дискретных ячеек для всех значений сеточных функций заданы следующие кусочно-линейные распределения:

$$v(x, t^k) = v_j^k + \alpha_j^k (x - x_j), \quad x \in \left[ x_j - \frac{1}{2}\Delta x, x_j + \frac{1}{2}\Delta x \right],$$

где  $x_j$  — пространственная координата центра ячейки с номером  $j$ ,  $\alpha_j^k$  — вектор наклонов распределения функции  $\mathbf{V}$  внутри ячейки. Уравнение для учета изменения  $\mathbf{V}$  по времени в центре ячейки имеет вид

$$\frac{\hat{v}_j^{k+1} - v_j^k}{\Delta t} + \frac{F(V_j^k + \frac{1}{2}\Delta x \cdot \alpha_j^k) - F(V_j^k - \frac{1}{2}\Delta x \cdot \alpha_j^k)}{\Delta x} = 0.$$

Предиктор: второй шаг. Значение функции  $v$  на промежуточном слое по времени  $t + \frac{1}{2}\Delta t$  вычисляется по формуле

$$v_j^{k+\frac{1}{2}} = \frac{1}{2} (\hat{v}_j^{k+1} + v_j^k).$$

Корректор. На данном шаге применяется схема (7) :

$$\frac{v_j^{k+1} - v_j^k}{\tau} + \mu \frac{V_{j+\frac{1}{2}} - V_{j-\frac{1}{2}}}{h} = 0,$$

где все значения  $V_{j+\frac{1}{2}}$  определяются решением задачи Римана с кусочно-постоянными начальными данными

$$\begin{cases} V_j^{k+\frac{1}{2}} + \frac{1}{2}\Delta x \alpha_j^k, & \text{при } \mu < 0, \\ V_{j+1}^{k+\frac{1}{2}} - \frac{1}{2}\Delta x \alpha_{j+1}^k, & \text{при } \mu > 0. \end{cases}$$

Существует несколько способов вычисления наклонов  $\alpha_m$  в дискретной ячейке с номером  $m$  для сеточной функции  $\mathbf{V}$ . Величины наклонов  $\alpha_m$  модифицируются ограничителями  $\psi_m$ , которые являются некоторыми функциями, задающими и одновременно ограничивающими наклоны  $\alpha_m$  на основе анализа значений  $v_m$  или конечных разностей  $v_{m+1} - v_m$ . В данной работе применяется ограничитель, предложенный в [20].

## 2.2. Аппроксимация характеристик нелинейных элементов

Интерполяционные сплайны с натяжением при определенном выборе значений свободных параметров не содержат ложных точек перегиба [6, 7]. Это означает, что если исходные данные свидетельствуют о локальной выпуклости кривой, то сплайн с натяжением будет локально-выпуклым. После того как значения свободных параметров, называемых параметрами натяжения, заданы, интерполирующий сплайн определяется однозначно. Поскольку зависимость сплайна от этих параметров нелинейная, то для их определения необходимы итерации. Точку перегиба кривой  $y = s(x)$  в интервале  $[x_i, x_{i+1}]$  считаем ложной, если вычисленные по исходным данным вторые центральные разности имеют в точках  $x_i$  и  $x_{i+1}$  одинаковые знаки.

Вид экспоненциального сплайна с натяжением определяется решением совокупности краевых задач на интервалах  $[x_i, x_{i+1}]$  ( $i = 1, \dots, N$ ):

$$[D^4 - p_i^2 D^2] \tau = 0, \quad \tau(x_i) = f_i, \quad \tau(x_{i+1}) = f_{i+1}, \quad \tau''(x_i) = \tau_i'', \quad \tau''(x_{i+1}) = \tau_{i+1}'',$$

где  $\tau_i'', \tau_{i+1}''$  выбраны так, чтобы  $\tau(x) \in C^2[a, b]$ . Решением является функция

$$\begin{aligned} \tau(x) = & \left( f_i - \frac{\tau_i''}{p_i^2} \right) \frac{(x_{i+1} - x)}{h_i} + \left( f_{i+1} - \frac{\tau_{i+1}''}{p_{i+1}^2} \right) \frac{(x - x_i)}{h_i} + \\ & + \frac{1}{p_i^2 sh(p_i h_i)} [\tau_i'' sh p_i (x_{i+1} - x) + \tau_{i+1}'' sh p_i (x - x_i)], \end{aligned}$$

где  $\tau_i'', i = \overline{1, N+1}$ , определяются решением системы уравнений с трехдиагональной матрицей:

$$\begin{aligned} d_1 \tau_1'' + e_1 \tau_2'' &= b_1, \\ e_{i-1} \tau_{i-1}'' + (d_{i-1} + d_i) \tau_i'' + e_{i+1} \tau_{i+1}'' &= b_i \quad (i = \overline{2, N}), \\ e_N \tau_N'' + d_N \tau_{N+1}'' &= b_{N+1}, \end{aligned}$$

здесь

$$\begin{aligned} d_i &= \frac{1}{p_i^2} \left( \frac{p_i C_i}{sh(p_i h_i)} - \frac{1}{h_i} \right); \quad e_i = \frac{1}{p_i^2} \left( \frac{1}{h_i} - \frac{p_i}{sh(p_i h_i)} \right); \quad C_i = ch(p_i h_i) \quad (i = \overline{1, N}); \\ b_1 &= \frac{(f_2 - f_1)}{h_1} - f'(a); \quad b_{N+1} = f'(b) - \frac{(f_{N+1} - f_N)}{h_N}; \\ b_i &= \frac{(f_{i+1} - f_i)}{h_i} - \frac{(f_i - f_{i-1})}{h_{i-1}} \quad (i = \overline{2, N}). \end{aligned}$$

В предельных случаях имеем:

- 1) при  $p_i \rightarrow 0 \Rightarrow [D^4 - p_i^2 D^2] \tau = 0 \Rightarrow [D^4] \tau = 0$  экспоненциальный сплайн с натяжением вырождается в кубический сплайн;
- 2) при  $p_i \rightarrow \infty \Rightarrow [D^4 - p_i^2 D^2] \tau = 0 \Rightarrow \left[ \frac{1}{p_i^2} D^4 - D^2 \right] \tau = [D^2] \tau = 0$  интерполяционная кривая является ломаной, составленной из отрезков прямых.

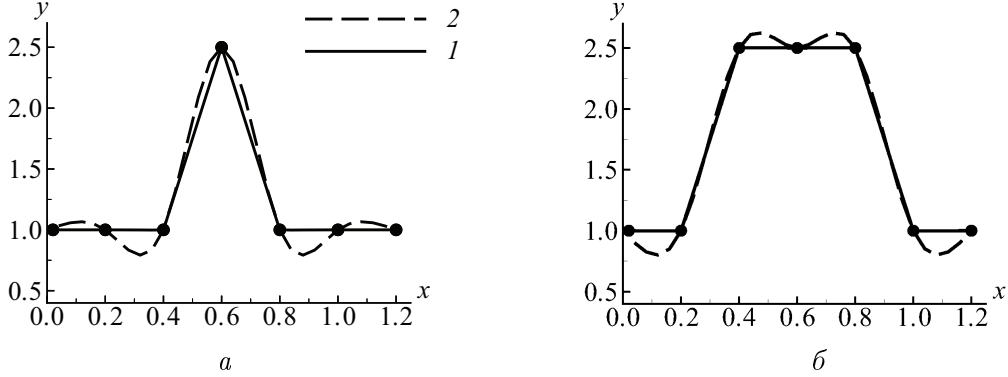


Рис. 1. Треугольный импульс (*a*), трапециевидный импульс (*б*); сплошная линия — экспоненциальный сплайн с натяжением, штриховая — кубический сплайн

На интервале  $[x_i, x_{i+1}]$  вторая производная изменяется по закону

$$\tau''(x) = \tau''_i \frac{\operatorname{sh} p_i (x_{i+1} - x)}{\operatorname{sh}(p_i h_i)} + \tau''_{i+1} \frac{\operatorname{sh} p_i (x - x_i)}{\operatorname{sh}(p_i h_i)}.$$

Таким образом, в случае  $b_i b_{i+1} > 0$  для обеспечения постоянства знака  $\tau''(x)$  внутри интервала достаточно потребовать, чтобы  $\tau''_i b_i > 0$  и  $\tau''_{i+1} b_{i+1} > 0$ . Для этого необходимо найти значения  $\{p_i\}_{i=1}^N$ , обеспечивающие выполнение неравенств  $\tau''_i b_i > 0$  ( $i = \overline{1, N+1}$ ).

Пусть  $\tau''_k b_k < 0$ . Определим

$$\lambda = \frac{\max(|b_k|, (d_{k-1} + d_k)|\tau''_k|)}{2 \max(|\tau''_{k-1}|, |\tau''_{k+1}|)} \quad (8)$$

и положим  $\tilde{p} = \max[(\lambda h_i^2)^{-1}, p_i]$ ,  $i = \overline{k-1, k}$ . Тогда значения параметров натяжения определяются формулой

$$p_i = p_i + \omega (\tilde{p}_i - p_i), \quad i = \overline{k-1, k}, \quad (9)$$

где  $w$  — релаксационный параметр. Расчет проводится следующим образом:

- 1) строится интерполяционная кривая, соответствующая  $p_i = 0$  для всех  $i$ , т. е. определяется кубический сплайн, играющий роль нулевого приближения;
- 2) проверяется выполнение неравенств  $\tau''_i b_i > 0$  ( $i = \overline{1, N+1}$ );
- 3) если обнаруживаются ложные точки перегиба, то с помощью итераций обеспечивается выполнение неравенств  $\tau''_i b_i > 0$  ( $i = \overline{1, N+1}$ ).

Сравнение экспоненциального сплайна с натяжением с кубическим показано на рис. 1.

В работе [8] проведено сравнение справочных данных с результатами использования кубического сплайна и экспоненциального сплайна с натяжением при аппроксимации вольт-амперных характеристик выпрямительных диодов и стабилизатора с операционным усилителем и на разных примерах сделан вывод о предпочтительном использовании экспоненциального сплайна.

Объединяя модули анализа многопроводных линий передачи с линейными нагрузками и сплайн-аппроксимации, получаем программный комплекс, позволяющий анализировать многопроводные линии передачи с линейными и нелинейными нагрузками.

### 3. Численные результаты

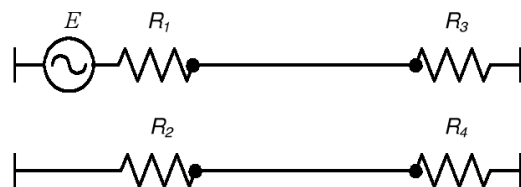
*Пример 1.* Требуется вычислить временной отклик для схемы из работы [2].

*Дано:* Объект в виде двухпроводной связанной линии (рис. 2) с параметрами, заданными в табличном виде (табл. 1). Длина линии 0.3048 м. На активный проводник

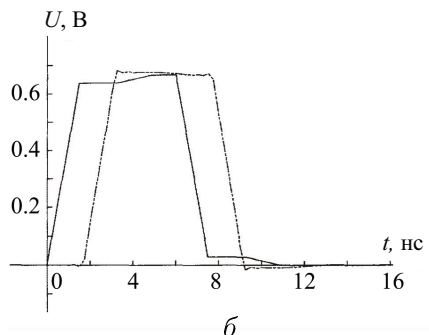
Т а б л и ц а 1

$L_{11} = L_{22}$	494.6 нГн/м
$L_{12} = L_{21}$	63.3 нГн/м
$C_{11} = C_{22}$	62.8 пФ/м
$C_{12} = C_{21}$	-4.9 пФ/м

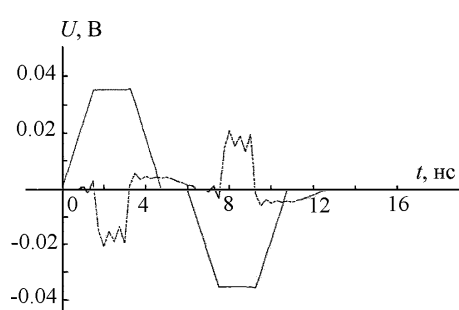
$R_1 = 50 \text{ Ом}, R_2 = R_3 = R_4 = 100 \text{ Ом}$



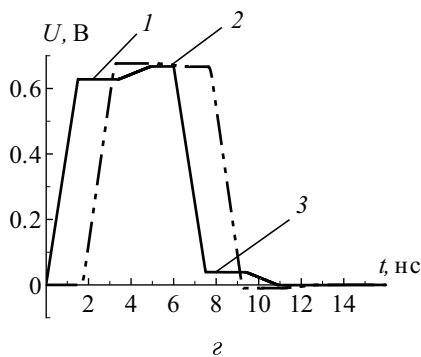
*a*



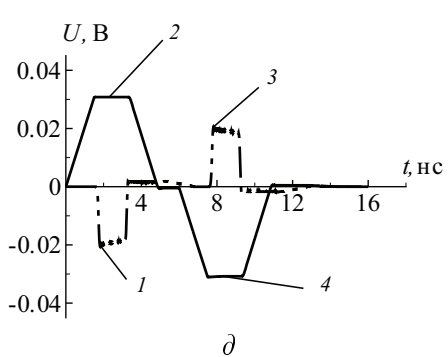
*b*



*в*



*г*



*д*

Точки измерения	1	2	3
$t, \text{ нс}$	2	6	8
$U, \text{ В}$	0.628	0.667	0.039

Точки измерения	1	2	3	4
$t, \text{ нс}$	1.82	2.5	7.82	8
$U, \text{ В}$	-0.023	0.031	0.024	-0.031

Рис. 2. Линия передачи с двумя сигнальными проводниками (*a*); форма напряжений на выводах линии; *б*, *в* — данные [2]; *г*, *д* — результаты, полученные в настоящей работе; сплошные линии и штрихпунктир — напряжение соответственно в начале и конце линии

подается трапециевидный импульс с параметрами: амплитуда  $E_0 = 1$  В, длительность вершины  $t_d = 4.5$  нс, время нарастания и спада  $t_r = t_f = 1.5$  нс.

*Требуется:* Найти значения напряжения на выводах активной и пассивной линий, сравнить полученные результаты с данными работы [2].

На рис. 2 представлены формы напряжений на выводах активной (рис. 2, б, г) и пассивной (рис. 2, в, д) линий. В пассивной линии возникает наведенный сигнал, вызванный электромагнитными наводками от активной линии (перекрестная помеха на ближнем конце — сплошная линия, на дальнем — штрихпунктирная). Из рисунков видно хорошее совпадение форм сигнала и пиковых значений напряжения. Небольшое отличие полученных результатов от опубликованных в [2], возможно, связано с явлением Гиббса (особенность поведения частичных сумм ряда Фурье в окрестности точки разрыва функции).

*Пример 2.* Рассматривается структура, состоящая из двух последовательно соединенных двухпроводных отрезков линий передачи [21].

*Дано:* Объект в виде двух последовательно соединенных двухпроводных отрезков линий передачи (рис. 3) с параметрами, заданными в табличном виде (табл. 2). Длина первого отрезка линии — 0.2 м, второго — 0.3 м. На один из проводников первого отрезка

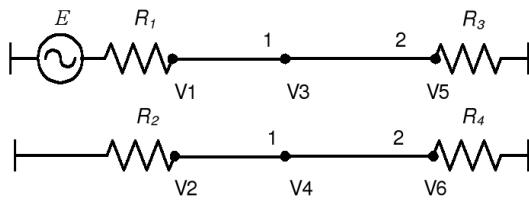
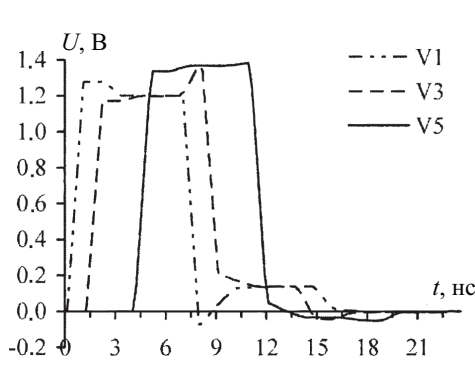


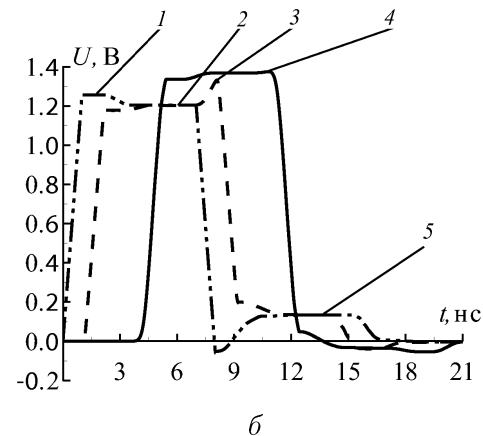
Рис. 3. Структура из двух последовательно соединенных двухпроводных отрезков

Т а б л и ц а 2

Отрезок	1	2
$L_{11} = L_{22}$	494.6 нГн/м	750 нГн/м
$L_{12} = L_{21}$	63.3 нГн/м	95 нГн/м
$C_{11} = C_{22}$	62.8 пФ/м	133 пФ/м
$C_{12} = C_{21}$	-4.9 пФ/м	-9 пФ/м
$R_1 = 50 \text{ Ом}, R_2 = R_3 = R_4 = 100 \text{ Ом}$		



а



б

Точки измерения	1	2	3	4	5
$t, \text{ нс}$	1.5	6	8.1	10.7	13.5
$U, \text{ В}$	1.256	1.204	1.331	1.375	0.13

Рис. 4. Сравнение результатов моделирования отклика без потерь: а — данные [2, 21]; б — результат, полученный в настоящей работе

подается трапециевидный импульс с параметрами: амплитуда  $E_0 = 2$  В, длительность вершины  $t_d = 6$  нс, время нарастания и спада  $t_r = t_f = 1$  нс.

*Требуется:* Найти напряжение на концах структуры, в месте соединения сегментов, сравнить полученные результаты с данными работы [21].

При условии линейности нагружающих цепей были получены результаты, представленные на рис. 4, — формы напряжений в начале активной линии (V1), между отрезками (V3) и в конце активной линии (V5).

Вследствие несогласованности нагрузок на концах отрезков линии и их различных характеристик в линии возникают отраженные и преломленные волны, поэтому формы сигнала в начале линии, в месте соединения отрезков и в конце линии различны. Значения напряжения, вычисленные по предложенному алгоритму, с приемлемой точностью совпадают с опубликованными в [2, 21] результатами.

*Пример 3. Аппроксимация нелинейных вольт-амперных характеристик экспоненциальным сплайном с натяжением.*

*Дано:* Объект в виде двухпроводной связанной линии (см. рис. 2, а) (параметры заданы в табл. 1) с нелинейной нагрузкой (аппроксимация вольт-амперной характеристики включаемого в начало линии стабилитрона приведена на рис. 5, а, б).

*Требуется:* Оценить влияние способа аппроксимации вольт-амперной характеристики на перекрестные наводки и помехи отражения.

Рассмотрим форму сигнала в начале линии при включении в нее стабилитрона. При аппроксимации экспоненциальным сплайном с натяжением вольт-амперная характеристи-

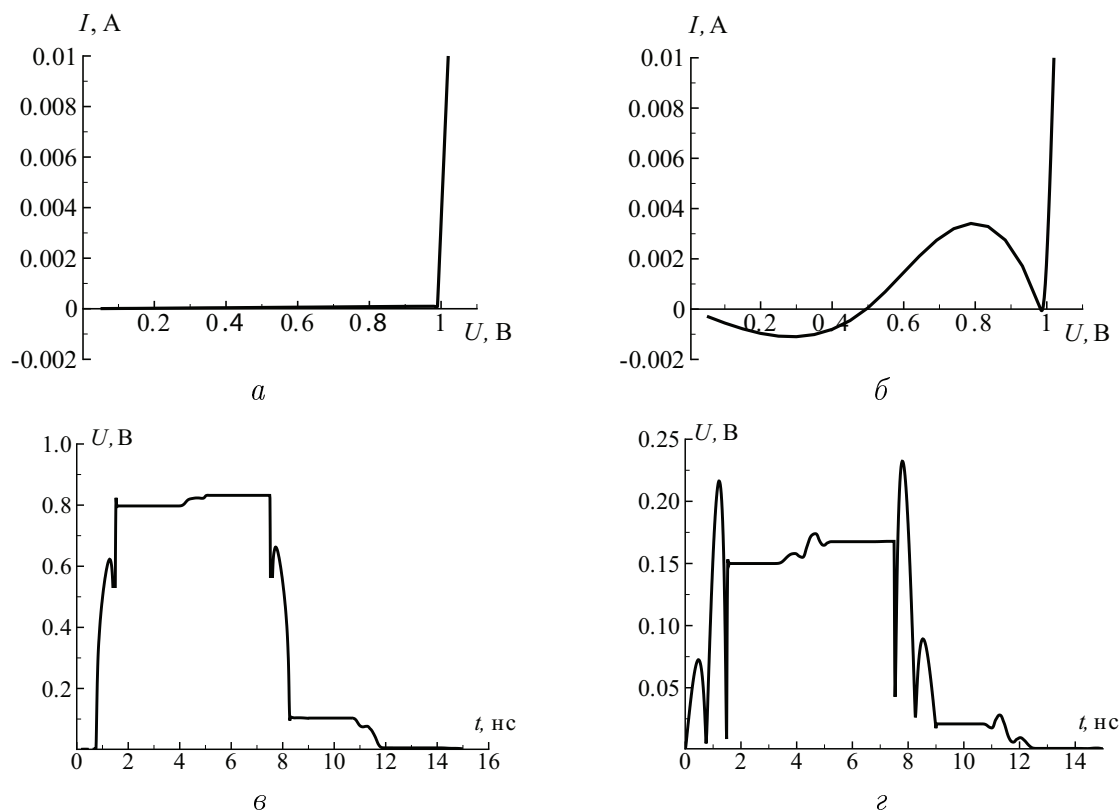


Рис. 5. Аппроксимация вольт-амперной характеристики стабилитрона экспоненциальным сплайном с натяжением (а), кубическим сплайном (б); в, г — изменение напряжения в начале линии соответственно в первом и втором случае

стика подключаемого стабилитрона достаточно хорошо воспроизводится (см. рис. 5, а), а при аппроксимации кубическим сплайном возникают ложные точки перегиба и появляется нежелательная волнистость (см. рис. 5, б).

На рис. 5, в, г приведены формы напряжений в начале линии. Видно, что использование при аппроксимации вольт-амперной характеристики стабилитрона экспоненциального сплайна с натяжением приводит к незначительным (допустимым) погрешностям формы сигнала, в то время как применение кубического сплайна приводит к значительным искажениям формы и амплитуды сигнала.

*Пример 4. Рассмотрим неоднородную линию передачи из работы [22].*

*Дано:* Объект в виде неоднородной линии передачи (AR-процессор) и эквивалентная ему восьмисекционная линия передачи. Параметры линии: общая длина  $l = 210.65$  мм, все секции одной длины. Нагрузка в начале и конце линии  $R_0 = R_l = 50$  Ом/м. Волновые сопротивления секций:  $Z_1 = 57.98$  Ом/м,  $Z_2 = 102.7$ ,  $Z_3 = 156.32$ ,  $Z_4 = 66.27$ ,  $Z_5 = 18.02$ ,  $Z_6 = 77.46$ ,  $Z_7 = 46.62$ ,  $Z_8 = 52.11$  Ом/м.

*Требуется:* Найти значения напряжения в конце эквивалентной многосегментной структуры и форму сигнала на приемнике и сравнить полученные результаты с данными работы [22].

На рис. 6, б представлена форма сигнала на приемнике восьмисекционной эквивалентной AR-процессору линии передачи, полученная в работе [22]. Во время прохождения по линии, при переходе из одной секции в другую, сигнал претерпевает изменения из-за несогласованности секций между собой (различные волновые сопротивления).

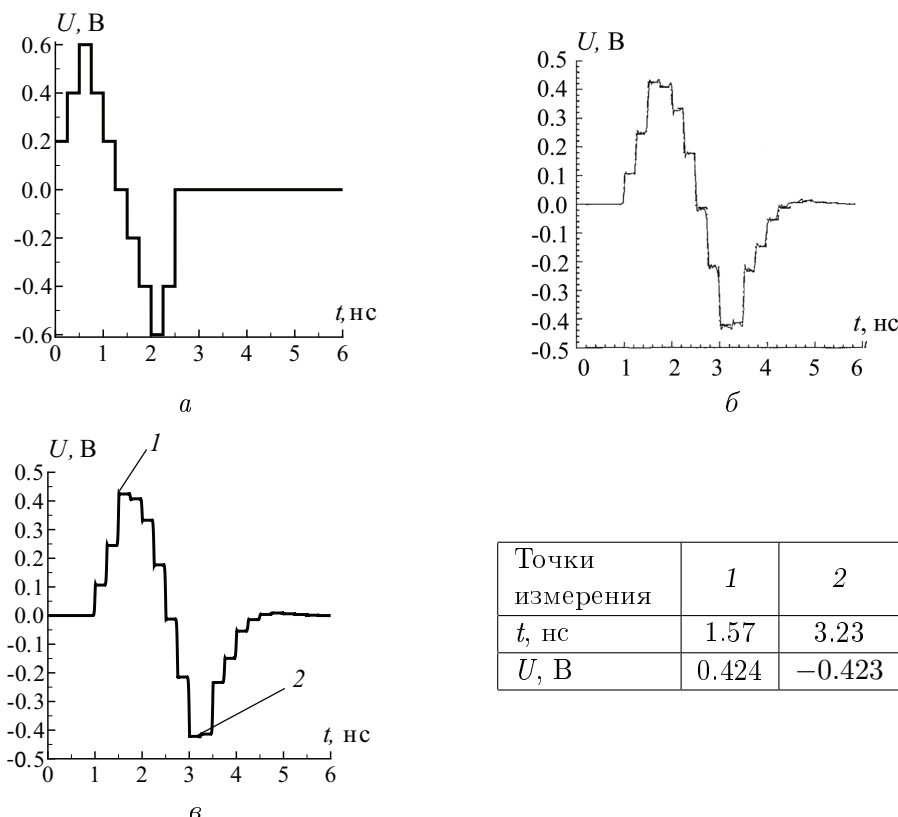


Рис. 6. Форма сигнала на входе (а) и на конце (б) эквивалентной AR-процессору линии передачи [6]; в — результат, полученный в настоящей работе

Форма сигнала на приемнике (рис. 6, в), найденная в результате численного моделирования прохождения сигнала в восьмисекционной линии передачи, практически неотличима от данных [22].

*Пример 5. Сравнение с экспериментальными данными.*

*Дано:* Объект в виде двух последовательно соединенных линий передачи (рис. 7, табл. 3) и экспериментальные данные, полученные с помощью программного обеспечения “ИмпульсМ” для векторного измерителя характеристик цепей Р4-И-01 [23]. Первый отрезок — кабель РК-50-2-21 длиной 22 м, второй — кабель RG-6U длиной 5 м. В линию подается тестовый сигнал “Видеоимпульс” (амплитуда 1 В, длительность 0.1 мкс) и “Хевисайда функция” (амплитуда 1 В) [23]. Линия разомкнута на конце.

*Требуется:* Провести сравнение результатов численного моделирования с экспериментальными данными и оценить погрешность моделирования.

На рис. 8 представлены экспериментальные данные (а, б) и результаты численного моделирования (в, г) в начале исследуемой структуры (а, в — на вход линии подается сигнал “Хевисайда функция”, б, г — сигнал “Видеоимпульс”). Видно хорошее совпадение

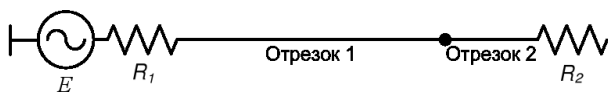


Рис. 7. Структура из двух последовательно соединенных отрезков

Т а б л и ц а 3

Отрезок	1	2
$L$	494.6 нГн/м	750 нГн/м
$C$	62.8 пФ/м	133 пФ/м
$R_1 = 50 \text{ Ом}, R_2 = \infty \text{ Ом}$		

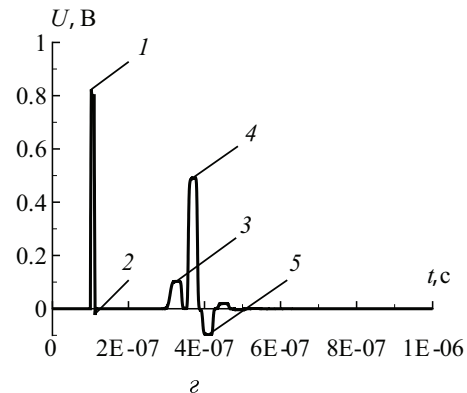
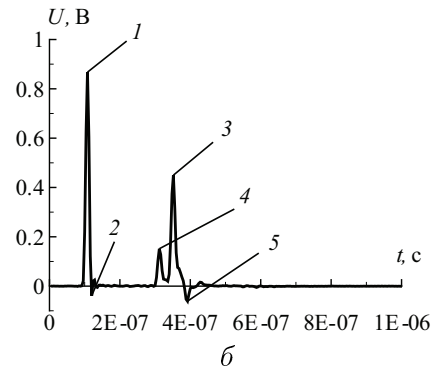
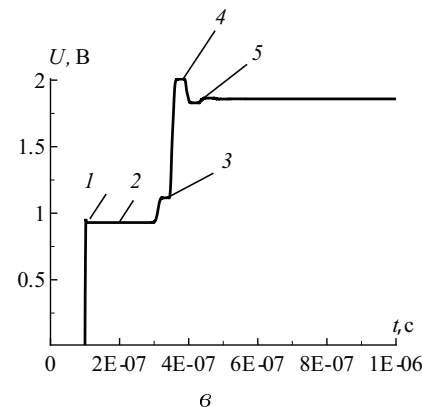
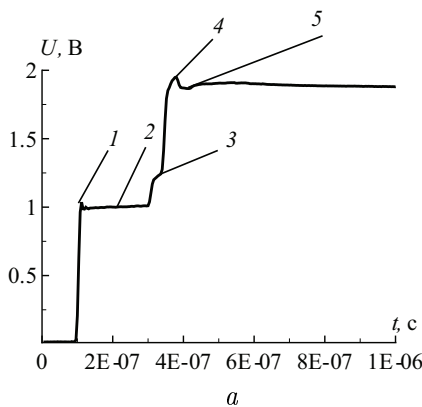


Рис. 8. Форма напряжения в начале линии: а, б — экспериментальные данные; в, г — результат численного моделирования; ниже приведены параметры в точках измерения 1–5

Точки измерения	1	2	3	4	5
<i>Рис. 8, а</i>					
$t, \text{ с}$	1.1e-7	2.1e-7	3.2e-7	3.8e-7	4.1e-7
$U, \text{ В}$	1.01	0.98	1.21	1.96	1.86
<i>Рис. 8, б</i>					
$t, \text{ с}$	1.05e-7	1.2e-7	3.15e-7	3.5e-7	3.95e-7
$U, \text{ В}$	0.87	-0.04	0.15	0.45	-0.06
<i>Рис. 8, в</i>					
$t, \text{ с}$	1.0e-7	2.0e-7	3.2e-7	3.8e-7	4.2e-7
$U, \text{ В}$	0.96	0.93	1.12	2.01	1.83
<i>Рис. 8, г</i>					
$t, \text{ с}$	1.0e-7	1.15e-7	3.3e-7	3.7e-7	4.1e-7
$U, \text{ В}$	0.83	-0.025	0.11	0.49	-0.1

форм сигнала и пиковых значений напряжения для расчетных и экспериментальных данных (небольшие отличия вызваны тем, что характеристики кабеля имеют допустимые отклонения (ГОСТ 11326.35-79, волновое сопротивление  $50 \pm 4 \text{ Ом}$ )). Погрешность моделирования относительно эксперимента находится в пределах 3–8 %.

#### Пример 6. Экспоненциальная линия передачи.

*Дано:* Объект в виде неоднородной (экспоненциальной) линий передачи, описанной в работе [24]. Параметры линии:  $l = 1 \text{ м}$ ,  $L^0 = 1 \text{ Гн/м}$ ,  $C^0 = 1 \text{ Ф/м}$ . Индуктивность и емкость изменяются по законам:  $L(x) = L^0 e^{\sigma x}$ ,  $C(x) = C^0 e^{-\sigma x}$ ,  $\sigma = \ln 4$ . В линию подается колоколообразный импульс:  $e = \exp \left\{ -\frac{(t - T_s)^2}{2\Delta_s^2} \right\}$ ,  $T_s = 2 \text{ с}$ ,  $\Delta_s = 0.2 \text{ с}$ .

*Требуется:* Найти напряжение на выводах линии и сравнить полученные результаты с данными [24].

На рис. 9, а, б приведены формы напряжения соответственно в начале и в конце экспоненциальной линии, взятые из работы [24].

Несмотря на то что линия передачи согласована и в источнике, и в нагрузке, в ней вследствие неоднородности по поперечному сечению возникают отраженные волны на всей длине проводника. Полученные численные результаты это подтверждают, на что указывают формы напряжений в начале (рис. 9, в) и в конце (рис. 9, г) экспоненциальной линии.

#### Пример 7. Непараллельные проводники.

*Дано:* Объект в виде неоднородной линий передачи, составленной из двух проводников, расположенных непараллельно друг другу [24]. Параметры линии:  $l = 1 \text{ м}$ , высота над поверхностью  $h = 3 \text{ см}$ , радиус  $r = 1 \text{ мм}$ , расстояние между проводниками в начале линии  $D_0 = 5 \text{ мм}$ , в конце линии —  $D_1 = 15 \text{ мм}$ , индуктивность и емкость изменяются по следующим законам:  $L_{11} = L_{22} = \frac{\mu_0}{2\pi} \log \left( \frac{2h}{r} \right)$ ,  $L_{12}(x) = L_{21}(x) = \frac{\mu_0}{4\pi} \log \left( 1 + \frac{4h^2}{D^2(x)} \right)$ ,  $C(x) = \varepsilon_0 \mu_0 L^{-1}(x)$ ,  $D(x) = D_0 + x(D_1 - D_0)$ . В активный проводник с частотой 1 МГц подается последовательность трапециевидных импульсов с параметрами: амплитуда  $E_0 = 1 \text{ В}$ , коэффициент заполнения 50 %, время нарастания и спада  $t_r = t_f = 20 \text{ нс}$ .

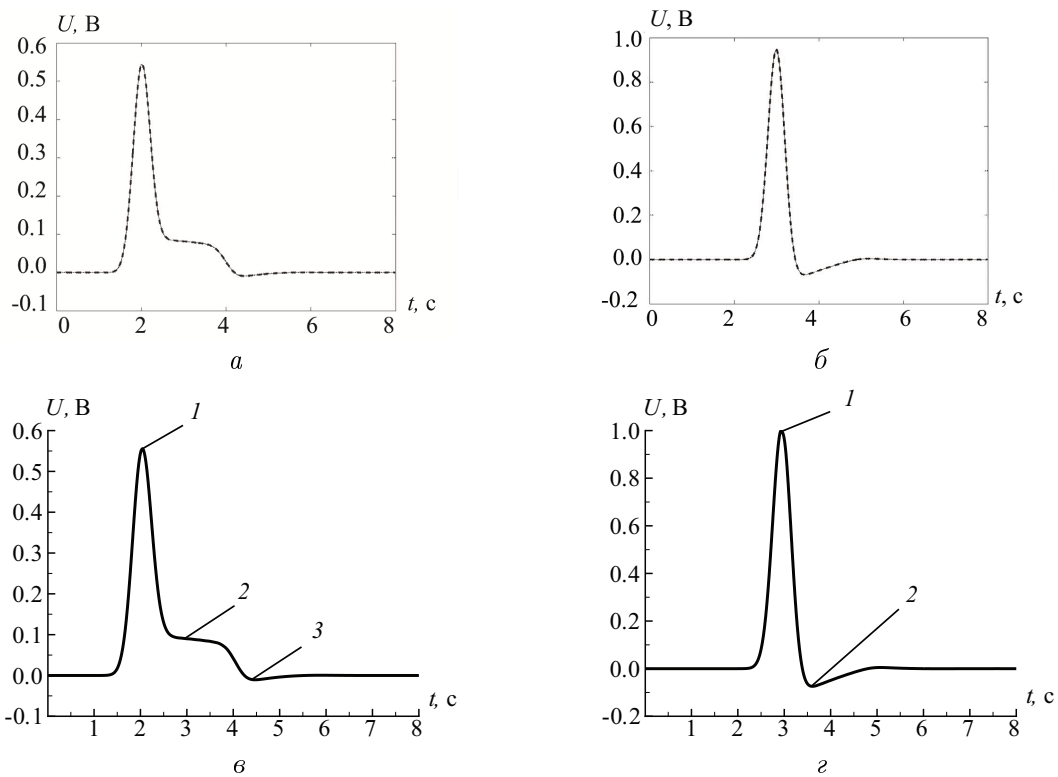


Рис. 9. Изменение напряжения в согласованной экспоненциальной линии: *a*, *б* — данные работы [24]; *в*, *г* — результат численного расчета

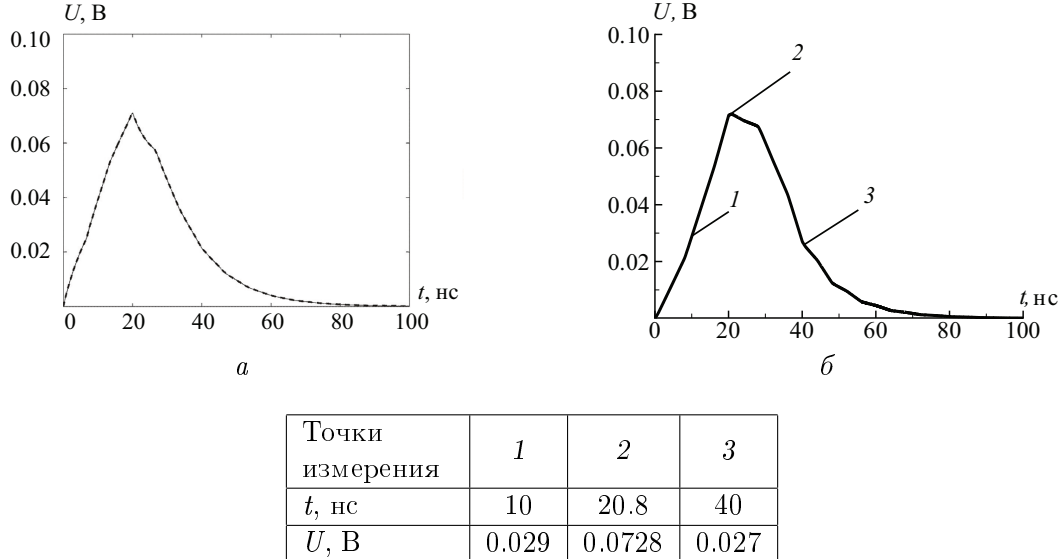


Рис. 10. Изменение напряжения в начале пассивной линии

*Требуется:* Найти перекрестную помеху в начале пассивной линии и сравнить полученные результаты с данными работы [24].

В силу взаимовлияний в пассивном проводнике возникает наведенный сигнал. На рис. 10 приведена перекрестная помеха в начале пассивной линии (*a* — данные работы [24], *б* — результат, полученный в настоящей работе). Видно хорошее совпадение форм сигнала и пиковых значений напряжения.

## Заключение

Разработан алгоритм и создан комплекс программ для численного моделирования многопроводных линий передачи с нелинейными нагружающими элементами. Получены результаты расчетов временного отклика на нескольких модельных задачах. Проведено сравнение полученных результатов с экспериментом и расчетными данными других авторов [2, 21, 22, 24] и показано их совпадение. Погрешность моделирования относительно эксперимента находится в пределах 3–8 %. Преимуществом представленного подхода является возможность вычисления отклика и перекрестных помех не только в концевых точках, но в каждом узле оконечной и соединительной цепи. Полученные результаты свидетельствуют о работоспособности алгоритма в задачах анализа помех отражения и перекрестных наводок в неоднородных многопроводных линиях передачи сигналов.

## Список литературы

- [1] ACHAR R., NAKHLA M.S. Simulation of high-speed interconnects // Proc. IEEE. 2001. Vol. 89, No. 5. P. 693–728.
- [2] DJORDJEVIC A.R., SARKAR T.K. Analysis of time response of lossy multiconductor transmission line networks // IEEE Trans. Microwave Theory Techniq. 1987. Vol. 35, No. 10. P. 898–908.
- [3] ЗАБОЛОЦКИЙ А.М., ГАЗИЗОВ Т.Р. Временной отклик многопроводных линий передачи. Томск: Томский гос. ун-т, 2007. 152 с.
- [4] CHANG F.-Y. Transient analysis of lossless coupled transmission lines with arbitrary initial potential and current distributions // IEEE Trans. Circuits Systems-I: Fundamental Theory Appl. 1992. Vol. 39, No. 3. P. 180–198.
- [5] ВОРОБЬЕВ А.Ю., КЕЧИЕВ Л.Н., КОРОЛЕВ С.А., СТЕПАНОВ П.В. Численные методы анализа многопроводных линий связи. М.: МИЭМ, 2000. 77 с.
- [6] БОГДАНОВ В.В., ВОЛКОВ Ю.С. Выбор параметров обобщенных кубических сплайн-нов при выпуклой интерполяции // Сибирский журн. вычисл. математики. 2006. Т. 9. С. 5–22.
- [7] МАККАРТИН Б.Дж. Применение экспоненциальных сплайнов в вычислительной гидродинамике // Аэрокосм. техника. 1984. Т. 2, № 4. С. 13–20.
- [8] АФАНАСЬЕВ К.Е., ВЕРШИНИН Е.А., ТРОФИМОВ С.Н. Об аппроксимации характеристик нелинейных элементов с помощью экспоненциального сплайна с натяжением // Вестник Томского гос. ун-та. Приложение “Информац. технологии и мат. моделирование-2006”. 2006. № 19. С. 68–74.

- [9] ДЖОРДЖЕВИЧ А.Р., САРКАР Т.К., ХАРРИНГТОН Р.Ф. Временные характеристики многопроводных линий передачи // ТИИЭР. 1987. Т. 75, № 6. С. 7–29.
- [10] МАЛЮТИН Н.Д. Многосвязные полосковые структуры и устройства на их основе. Томск: Томский гос. ун-т, 1990. 164 с.
- [11] СМИРНОВ В.И. Курс высшей математики. Т. 2. М.: Наука, 1974. 656 с.
- [12] ДЕМИРЧЯН К.С., НЕЙМАН Л.Р., КОРОВКИН Н.В., ЧЕЧУРИН В.Л. Теоретические основы электротехники. В 3-х т. Уч. для вузов. Т. 2. СПб.: Питер, 2006. 576 с.
- [13] PAUL C.R. Analysis of Multiconductor Transmission Lines. New York: John Wiley and Sons, 1994. 553 р.
- [14] ЗАХАР-ИТКИН М.Х. Теорема взаимности и матричные телеграфные уравнения для многопроводных линий передачи // Радиотехника и электроника. 1974. № 11. С. 2338–2348.
- [15] PAUL C.R. A Brief history of work in transmission lines for EMC applications // IEEE Trans. Electromagn. Compab. 2007. Vol. 49, No. 2. P. 237–252.
- [16] MIANO G., MAFFUCCI A. Transmission Lines and Lumped Circuits. New York: John Wiley and Sons, 2001. 479 р.
- [17] ЗЕВЕКЕ Г.В., ИОНКИН П.А., НЕТУШИЛ А.В., СТРАХОВ С.В. Основы теории цепей. М.: Энергия, 1975. 752 с.
- [18] ЧИСЛЕННОЕ решение многомерных задач газовой динамики / Под ред. С.К. Годунова. М.: Наука, 1976. 374 с.
- [19] КАРАМЫШЕВ В.Б. Монотонные схемы и их приложения в газовой динамике. Уч. пособие. Новосибирск, 1994. 100 с.
- [20] KADALBAJOO M.K., KUMAR R.A. High resolution total variation diminishing scheme for hyperbolic conservation law and related problems // Appl. Math. Comput. 2006. No. 175. P. 1556–1573.
- [21] ЗАБОЛОЦКИЙ А.М. Передача импульсных сигналов в многопроводных межсоединениях с неоднородным диэлектрическим заполнением. Автореф. дис. ... канд. тех. наук. Томск, 2007. 23 с.
- [22] PAN T.-W., HSUE C.-W. Modified transmission and reflection coefficients of nonuniform transmission lines and their applications // IEEE Trans. Microwave Theory Techniq. 1998. Vol. 46, No. 12. P. 2092–2097.
- [23] Лощилов А.Г., СЕМЕНОВ Э.В., МАЛЮТИН Н.Д. Цифровой измерительный комплекс для измерения частотных и импульсных характеристик четырехполюсников // Изв. Томского политех. ун-та. 2006. Т. 309, № 8. С. 37–41.
- [24] GRIVET-TALOCIA S., CANAVERO F. Weak solution of the nonuniform multiconductor transmission lines // IEEE Intern. Symp. Electromagn. Compat. 1998. Vol. 2. P. 964–968.

Поступила в редакцию 9 декабря 2009 г.